

ČESKÉ VYSOKÉ UČENÍ TECHNICKÉ V PRAZE
FAKULTA STAVEBNÍ
KATEDRA GEOMATIKY

Název předmětu

Geoinformatika

Úloha

U1

Název úlohy:

JPEG komprese rastru

akademický rok
2024/2025

semestr
zimní

studijní skupina
C102

vypracoval
Matyáš Pokorný
Tereza Černohousová

datum
22.10.2024

klasifikace

Technická zpráva

1 Bonusové úlohy

Z bonusových úloh námi byly zpracovány:

- JPEG komprese a dekomprese
- Resamplování některou z metod
- Konverze pixelů do ZIG-ZAG sekvencí
- Huffmanovo kódování
- Náhrada DCT s využitím diskrétní vlnkové transformace

2 Pracovní postup

JPEG je hojně využívaná metoda komprese rastrů. Dosahuje vysokých kompresních poměrů, ale je ztrátová. Metoda má několik částí.

- Rozdělení rastru na RGB složky
- Převod z RGB na $YC_B C_R$

$$\begin{bmatrix} Y \\ Cb \\ Cr \end{bmatrix} = \begin{bmatrix} 0.299 & 0.587 & 0.114 \\ -0.1687 & -0.3313 & 0.5 \\ 0.5 & -0.4187 & -0.0813 \end{bmatrix} \begin{bmatrix} R \\ G \\ B \end{bmatrix} + \begin{bmatrix} 0 \\ 128 \\ 128 \end{bmatrix}$$

- Rozdělení na submatice 8x8
- Převzorkování
- Diskrétní kosinová transformace
- nebo diskrétní vlnková transformace
- Kvantizace - provádí se dělením po prvcích, již vytvořenou vhodnou kvantizační maticí
- Převod matic na zig-zag sekvence
- Komprese do Huffmanova kódu

Dekomprese

- Dekvantizace - násobení po prvcích stejnou kvantizační maticí
- Inverzní kosinová transformace

- Převod z $YC_B C_R$ na RGB

$$\begin{bmatrix} R \\ G \\ B \end{bmatrix} = \begin{bmatrix} 1 & 0 & 1.4020 \\ 1 & -0.3441 & -0.7141 \\ 1 & 1.7720 & -0.0001 \end{bmatrix} \begin{bmatrix} Y \\ Cb - 128 \\ Cr - 128 \end{bmatrix}$$

Diskrétní kosinova transformace s převzorkováním

$$F(u, v) = \frac{1}{4} C(u) C(v) \sum_{x=0}^7 \sum_{y=0}^7 f(x, y) \cos\left(\frac{(2x+1)u\pi}{16}\right) \cos\left(\frac{(2y+1)v\pi}{16}\right)$$

$$C(u) = \begin{cases} \sqrt{\frac{\sqrt{2}}{2}} & \text{if } u = 0 \\ 1 & \text{if } u \neq 0 \end{cases}$$

$$C(v) = \begin{cases} \sqrt{\frac{\sqrt{2}}{2}} & \text{if } v = 0 \\ 1 & \text{if } v \neq 0 \end{cases}$$

Převzorkování bylo provedeno pomocí průměrování submatic o rozměrech 2x2 pixely

Inverzní kosinova transformace

$$f(u, v) = \frac{1}{4} \sum_{x=0}^7 \sum_{y=0}^7 C(u) C(v) F(x, y) \cos\left(\frac{(2x+1)u\pi}{16}\right) \cos\left(\frac{(2y+1)v\pi}{16}\right)$$

$$C(u) = \begin{cases} \sqrt{\frac{\sqrt{2}}{2}} & \text{if } u = 0 \\ 1 & \text{if } u \neq 0 \end{cases}$$

$$C(v) = \begin{cases} \sqrt{\frac{\sqrt{2}}{2}} & \text{if } v = 0 \\ 1 & \text{if } v \neq 0 \end{cases}$$

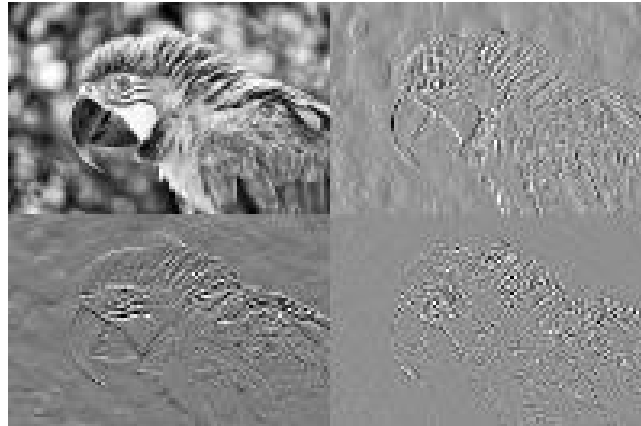
2.1 Diskrétní vlnková transformace

Diskrétní vlnková transformace (DWT) probíhá pomocí nízkofrekvenčních a vysokofrekvenčních filtrů, které vycházejí z použité mateřské vlnky. V této úloze byla použita jako mateřská vlnka Haarova. Nízkofrekvenční filtr h a vysokofrekvenční filtr g mají následující hodnoty:

$$h = \begin{bmatrix} \frac{1}{\sqrt{2}} & \frac{1}{\sqrt{2}} \end{bmatrix}, \quad g = \begin{bmatrix} \frac{1}{\sqrt{2}} & -\frac{1}{\sqrt{2}} \end{bmatrix}$$

Tyto filtry se nejprve aplikují na řádky a zároveň je zachován každý druhý řádek \rightarrow získáme dvě nové matice o poloviční velikosti. Na tyto dvě matice jsou filtry aplikovány ještě jednou, tentokrát na sloupce, a opět je zachován každý druhý sloupec. Výsledkem jsou čtyři matice \rightarrow LL = 2x aplikovaný nízkofrekvenční filtr, LH a HL = kombinace filtrů, HH = 2x

aplikovaný vysokofrekvenční filtr. Obrázek po kompresy vypadá nějak takto (normalizované hodnoty):



Obrázek 1: obraz po DWT

Inverzní DWT probíhá tak, že ze čtyř složek LL, LH, HL, HH musí nejprve vzniknout dvě složky L a H a z nich se složí obraz o původní velikosti. Matice L vznikne spojením LL a LH složek. LL je vepsána na liché řádky, LH na sudé řádky. Tím se zvětší velikost matice na poloviční velikost původního obrázku. Matice H vzniká obdobně ze složek HL a HH. Výsledná obraz vzniká pomocí bilineární transformace, která spojuje matice L a H v původní obraz

U této transformace nebyla použita kvantizace. Rozklad na submatice, kvantizace a aplikace DWT na jednotlivé submatice není efektivní způsob z časového hlediska a také bylo obtížné zrekonstruovat zpět obraz. Proto jsme si dovolili práci zjednodušit a DWT aplikovat na celý obraz bez kvantizace.

2.2 Převod na zig-zag sekvence

Využívá se pro uspořádání prvků matice, pro následnou efektivní kompresi pomocí Huffmanova kódování. Sekvence globálně probíhá ve směru hlavní diagonály matice, podrobně probíhá ve směru kolmém.

V našem zpracování úlohy provádí převod funkce *zig_zag* a převod ze sekvence zpět na matici funkce *inv_zig_zag*.

Algoritmus začíná v bodě (1,1) v matici a začíná přidáním prvku napravo. Poté se vytvoří pomocná matice, obecně o velikosti (m,m), kde m je maximální hodnota z indexů, kde se aktuálně nacházíme. V závislosti na směru, který je aktuální, se matice přetočí podle osy x nebo y, a vybere se její diagonála. Tato diagonála se přidá do sekvence. Následuje připojení sousedního prvku v matici (souseda koncového prvku sub-diagonály), podle směru je to prvek buď pod nebo v pravo, v první půlce matice, nebo prvek nad nebo vlevo v druhé půlce matice. Směry se mění ve chvíli, kdy dojdeme na nějaký okraj matice. Algoritmus končí přidáním posledního prvku matice.

Inverzní algoritmus je zpracován na základě stejného principu, je však třeba dopředu znát rozměr matice (pokud není vždy čtvercová).

2.3 Huffmanovo kódování

Algoritmus přiřazuje binární kódy hodnotám obrazu, na základě jejich četností. Nejčastěji se vyskytujícím se hodnotám přiřadí krátké kódy a delší kódy hodnotám, které se vyskytují méně často. Děje se tak na základě tvorby binárního stromu od spodu, ten je pak třeba při dekompresi, pro správné přidělení hodnot původního obrazu binárním kódům.

V rámci našeho zpracování úlohy je Huffmanovo kódování provedeno pomocí funkce *huffman* a jeho dekódování pomocí funkce *huffman_decode*. V našem zpracování, které proběhlo v Matlabu, byla pro tvoření stromu použita proměnná typu *cell*. Ta umožňuje do jisté míry spojovat pole, které nemají stejnou velikost. Pro tuto úlohu se však více hodí datové struktury jako je například *dictionary*. Kódování tedy není zcela optimální, do binární podoby však správně hodnoty převádí a inverzní funkce správně převádí binární hodnoty zpět na původní.

3 Výsledky

3.1 Obrázky před kompresí



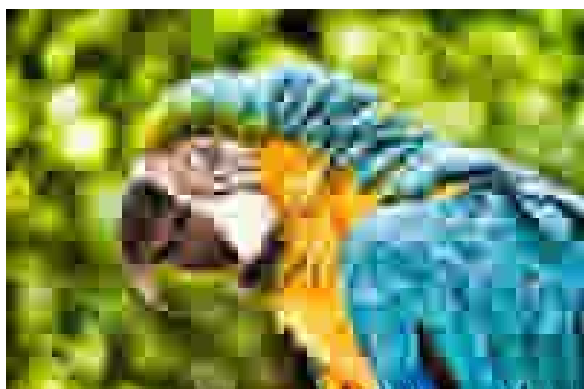
Obrázek 2: barevný obrázek



Obrázek 3: obrázek ve stupních šedi

3.2 Převzorkování rastru a diskrétní kosinova transformace

$q = 10$

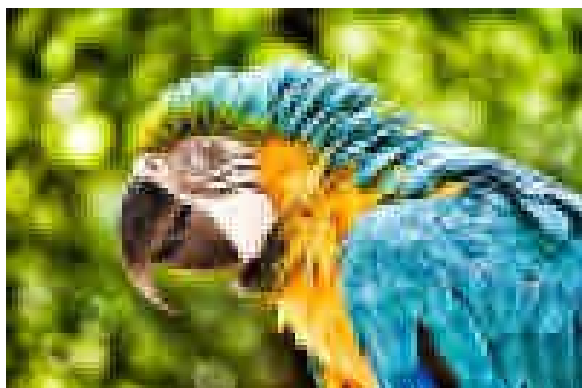


Obrázek 4: Aplikace DCT na barevný obrázek, $q = 10$



Obrázek 5: Aplikace DCT na obrázek ve stupních šedi, $q = 10$

$q = 50$



Obrázek 6: Aplikace DCT na barevný obrázek, $q = 50$



Obrázek 7: Aplikace DCT na obrázek ve stupních šedi, $q = 50$

$q = 70$



Obrázek 8: Aplikace DCT na barevný obrázek, $q = 70$



Obrázek 9: Aplikace DCT na obrázek ve stupních šedi, $q = 70$

3.3 Diskrétní vlnková transformace



Obrázek 10: Aplikace DWT na barevný obrázek



Obrázek 11: Aplikace DWT na obrázek ve stupních šedi

3.4 Střední kvadratická odchylka σ

metoda	σ_R	σ_G	σ_B
DCT, q = 10	23.688	23.587	24.311
DCT, q = 50	19.676	19.893	19.793
DCT, q = 70	19.462	19.719	19.691
DWT	26.923	27.298	26.623

Tabulka 1: $\sigma_{R,G,B}$ pro barevný obrázek

metoda	σ_R	σ_G	σ_B
DCT, q = 10	24.417	24.108	24.352
DCT, q = 50	20.678	20.665	20.708
DCT, q = 70	20.749	20.749	20.779
DWT	28.438	28.435	28.486

Tabulka 2: $\sigma_{R,G,B}$ pro černobílý obrázek

4 Závěr

Byly vpracovány funkce a skripty pro výpočet diskretní kosinovy transformace s převzorkováním rastru. Dále byla zpracována konverze do zig-zag sekvence a Huffmanovo kódování. Diskretní vlnková transformace byla vypracována taktéž. Ke všem kompresím byly vypracovány i inverzní funkce.

Kompresi pomocí DCT poskytuje lepší výsledky pro vyšší hodnotou faktoru komprese q . Se zmenšující se hodnotou faktoru komprese, kvalita zrekonstruovaného obrazu rychle klesá, viz Tabulka 1. Použití JPEG komprese je pak vhodné a praktické zejména pro členité, přirozené obrázky (jako testovací obrázek) a zejména pro obrázky, které nejsou určeny k další (geometrické) analýze.

Diskretní vlnková transformace vrací více zrnitý obraz než DCT. Porovnání pomocí střední kvadratické odchylky s DCT není možné, protože každý výpočet proběhl jinak. Obraz nebyl rozkládán na submatice a neproběhla kvantizace.

Konverze do zig-zag sekvence a z ní zpět do matice a Huffmanovo kódování jsou beztrátové kroky, není tedy možné je numericky hodnotit.

V Praze dne: 22.10. 2024

T. Černohousová
M. Pokorný